

УДК 629.07.54

Двумерная задача упругого взаимодействия акустического излучения с плоскими элементами маршевых конструкций двигателей КА

В. В. Каракун

Національний технічний університет України «Київський політехнічний інститут», Київ

Надійшла до редакції 06.03.97

Визначаються закономірності згинного руху пласкої перешкоди під дією акустичного випромінювання з боку маршевих двигунів носій.

Установлено, что акустическое излучение со стороны маршевых двигателей носителей оказывает существенное влияние на механические системы конструкции КА, а также на комплектующие элементы, в том числе на бортовую аппаратуру. Это относится, в первую очередь, к режиму старта носителя. Наиболее чувствительными к акустическому воздействию являются плоские элементы, имеющие малую жесткость в поперечном направлении (Каракун, 1993). Генерируемые в них изгибные колебания в некоторых случаях могут преобретать недопустимо большие амплитуды. Это может иметь место, например, при волновом совпадении (пространственном резонансе), пространственно-частотном и неполном пространственно-частотном резонансах. Поэтому представляет научный и практический интерес изучение закономерностей формирования волновых процессов в плоских элементах конструкции космических аппаратов под воздействием акустического излучения с целью дальнейшего учета их влияния на динамику механических систем конструкции КА.

Звуковое поле, в котором находится пластина, примем диффузным, т. е. таким, когда распространение звуковой волны по отношению к нормали ее лицевой поверхности является равновероятным.

Длину генерируемой изгиблой волны ограничим не менее чем шестикратным превышением толщины, что позволит воспользоваться для описания рассматриваемого явления уравнениями движения тонких пластин.

Пусть a и b — длина и ширина пластины. Ее толщина 2δ постоянна по всей площади и значительно меньше двух других геометрических размеров: $2\delta \ll a, b$. Материал пластины предполагается абсолютно упругим, однородным и изотропным (Каракун, Дидковский, 1992).

С учетом малости прогибов W_i пластины при акустическом нагружении по сравнению с ее толщиной боковые грани заштрихованного элемента площади длины dy и ширины dx , выделенного на расстоянии z от средней плоскости xOy , можно предполагать параллельными плоскостями xOz и yOz и перпендикулярными к срединной плоскости пластины во все время движения (рис. 1).

Какой бы функцией координат x и y ни был прогиб W пластины, его всегда можно представить в прямоугольной области двойным рядом по нормальным функциям, т. е.

$$W(x, y) = \sum_{m=1}^{\infty} \sum_{n=1}^{\infty} W_{mn} \sin \frac{m\pi x}{a} \sin \frac{n\pi y}{b}, \quad (1)$$

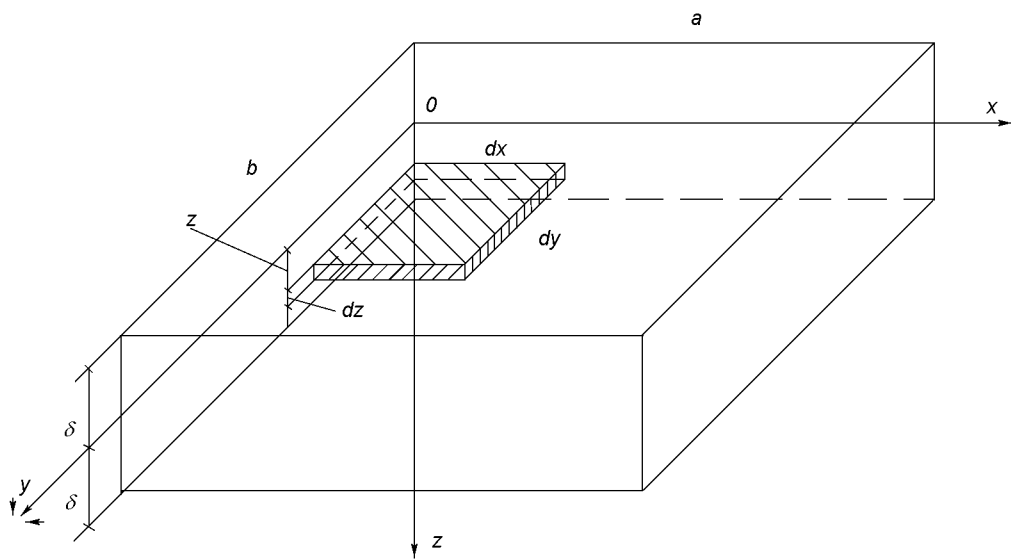


Рис. 1. Схема пространственного нагружения пластины: dx , dy , dz — размеры элементарного объема

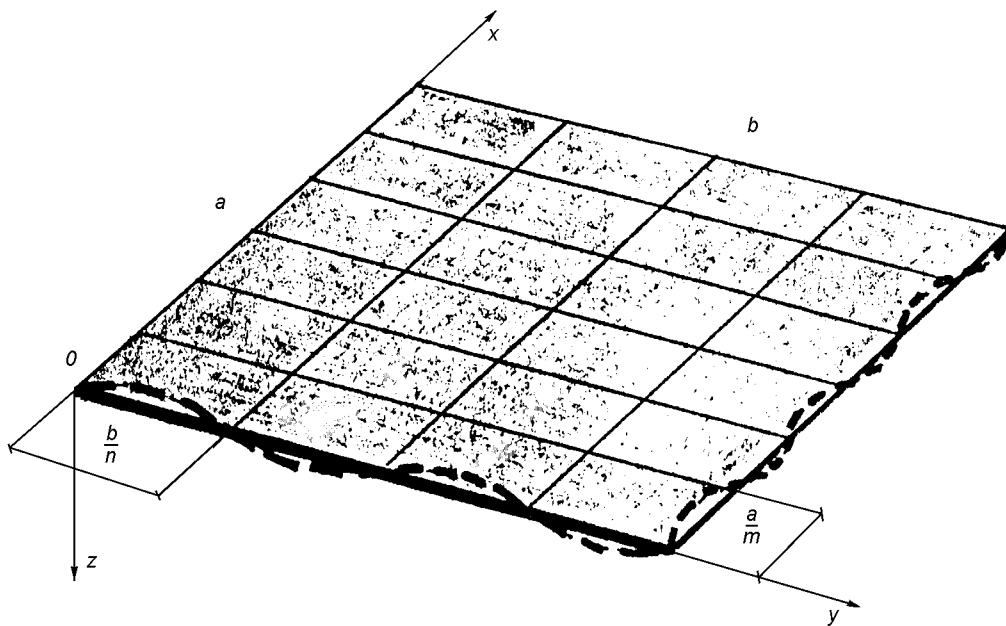


Рис. 2. Распределение прогибов пластины при звуковом воздействии

где $m, n = 1, 2, \dots$ — числа полуволн изгиба соответственно вдоль осей x и y (рис. 2); $W(x, y)$ — смещение точки пластины с координатами x, y в направлении оси z ; $W_{mn} = W_{mn}(t)$.

Очевидно, что каждый член ряда (1) удовлетворяет граничным условиям вида

$$[W]_{x=0;a} = \left[\frac{\partial^2 W}{\partial x^2} \right]_{x=0;a} = 0; \quad (2)$$

$$[W]_{y=0;b} = \left[\frac{\partial^2 W}{\partial y^2} \right]_{y=0;b} = 0.$$

Значение максимальной потенциальной энергии Π_0 , накопленной при изгибной деформации пластины, можно определить интегрированием по двум измерениям величины максимальной потенциальной энергии $d\Pi_0$ элементарного участка пластины (рис. 1). Тогда с учетом (1) получим

$$\begin{aligned} \Pi_0 = & \frac{D}{2} \int_0^a \int_0^b \left[\left(\frac{\partial^2 W(x, y)}{\partial x^2} \right)^2 + \left(\frac{\partial^2 W(x, y)}{\partial y^2} \right)^2 + \right. \\ & + 2\sigma \frac{\partial^2 W(x, y)}{\partial x^2} \frac{\partial^2 W(x, y)}{\partial y^2} + \\ & \left. + 2(1 - \sigma) \left(\frac{\partial^2 W(x, y)}{\partial x \partial y} \right)^2 \right] dx dy, \end{aligned} \quad (3)$$

где $D = E(2\delta)^3 [12(1 - \sigma)]^{-1}$ — цилиндрическая жесткость пластины; E — модуль упругости; σ — коэффициент Пуассона.

Величину максимальной кинетической энергии T_0 поперечных колебаний пластины можно определить по формуле

$$T_0 = 2^{-1} \mu \omega^2 \int_0^a \int_0^b W^2(x, y) dx dy, \quad (4)$$

где μ — масса единицы площади пластины; ω — круговая частота.

Используя принцип виртуальных перемещений, можно получить дифференциальное уравнение движения пластины в главных координатах при свободных колебаниях (Каракун, Дидковский, 1992):

$$\mu \ddot{W}_{mn} + D\pi^4 (m^2 a^{-2} + n^2 b^{-2})^2 W_{mn} = 0, \quad (5)$$

где

$$\pi^2 (\mu^{-1} D)^{1/2} (m^2 a^{-2} + n^2 b^{-2})^2 = \omega_{mn}$$

— собственная частота колебаний;

$$\delta W = \delta W_{mn} \sin \frac{m\pi x}{a} \sin \frac{n\pi y}{b}$$

— виртуальное перемещение.

Аналогично рассуждая, можно получить уравнения возмущенного движения

$$\mu \ddot{W}_{mn} + D\pi^4 (m^2 a^{-2} + n^2 b^{-2})^2 W_{mn} = Q_{mn}, \quad (6)$$

где Q_{mn} — обобщенная сила, имеющая тот физический смысл, чтобы произведение $Q_{mn} \delta W_{mn}$ представляло собой виртуальную работу звуковой волны давления $P(x, y)$, которую для удобства также представим в виде (1):

$$P(x, y) = \sum_{m=0}^{\infty} \sum_{n=0}^{\infty} P_{mn} \sin \frac{m\pi x}{a} \sin \frac{n\pi y}{b}, \quad (7)$$

где m_1, n_1 — числа полуволн акустического излучения, приходящиеся на длину и ширину пластины соответственно; P_{mn} — амплитуда звукового давления соответствующей формы.

Таким образом, если на пластину падает звуковая волна $P_1(x, y, t)$, то виртуальная работа вычисляется по формуле

$$\delta A = \int_0^a \int_0^b P_1(x, y, t) \delta W_{mn} \sin \frac{m_1 \pi x}{a} \sin \frac{n_1 \pi y}{b} dx dy. \quad (8)$$

Здесь t — время.

Пусть на пластину под углом θ падает плоская звуковая волна (рис. 3) вида

$$\begin{aligned} P_1(x, y, t) = & \\ = & P_{10} \exp i \left\{ \omega t - k[x \sin \theta - (y - \delta) \cos \theta] + \frac{\pi}{2} \right\}, \end{aligned} \quad (9)$$

где P_{10} — амплитуда давления в падающей волне; k — волновое число; θ — угол падения волны.

Тогда

$$\delta A = \int_0^a \int_0^b P_1(x, y, t) \sin \frac{m_1 \pi x}{a} \sin \frac{n_1 \pi y}{b} dx dy \delta W_{mn},$$

а обобщенная сила Q_{mn} определяется выражением

$$\begin{aligned} Q_{mn} = & \int_0^a \int_0^b P_1(x, y, t) \sin \frac{m_1 \pi x}{a} \sin \frac{n_1 \pi y}{b} dx dy = \\ = & P_{10} \exp i \left(\omega t - k \delta \cos \theta + \frac{\pi}{2} \right) \exp i(k \cos \theta - a \sin \theta) \times \\ & \times [S_1 m_1 a^{-1} \pi \exp i(k \sin \theta) - \\ & - S_2 n_1 b^{-1} \pi \exp i(k b \cos \theta) - S_1 S_2] \times \\ & \times [(k \cos \theta)^2 + (n_1 \pi b^{-1})^2] [(k \sin \theta)^2 + (m_1 \pi a^{-1})^2], \end{aligned} \quad (10)$$

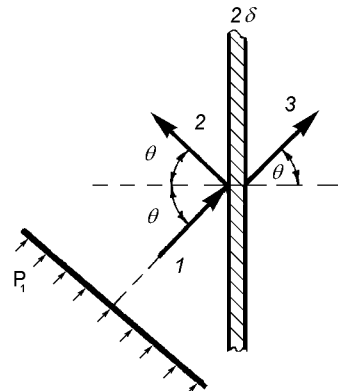


Рис. 3. Схема прохождения звукового излучения через плоскую преграду. 1, 2, 3 — соответственно падающая, отраженная и прошедшая волны

где

$$\begin{aligned} S_1 &= k \cos \theta \sin n_1 \pi - n_1 \pi b^{-1} \cos n_1 \pi; \\ S_2 &= k \sin \theta \sin m_1 \pi + m_1 \pi a^{-1} \cos m_1 \pi. \end{aligned}$$

Если $0 < (m_1, n_1) \ll 1$, что соответствует случаю равномерно распределенной нагрузки, то формула (10) преобразуется к виду

$$Q_{m_1 n_1} = P_{10} ab (m_1 n_1)^{-1} (1 - \cos m_1 \pi) (1 - \cos n_1 \pi). \quad (11)$$

Очевидно, что для четных значений величин m_1 и n_1 , $Q_{m_1 n_1} = 0$, а для нечетных —

$$Q_{m_1 n_1} = 4 P_{10} ab (\pi^2 m_1 n_1)^{-1}. \quad (12)$$

Если, например, в геометрическом центре пластины приложена сосредоточенная гармонически изменяющаяся во времени сила $P_1(t) = P_{10} \cos \omega t$, то выражение (10) изменится:

$$Q_{m_1 n_1} = P_{10} \cos \omega t \sin \frac{m_1 \pi}{2} \sin \frac{n_1 \pi}{2}.$$

Вычислив теперь максимальную работу A_0 , выполняемую падающей звуковой волной,

$$A_0 = \int_0^a \int_0^b P_1(x, y) W(x, y) dx dy, \quad (13)$$

можно установить закон изгибных колебаний пластины из условия экстремальных свойств ее при прогибе:

$$\frac{\partial}{\partial W_{mn}} (T_0 - \Pi_0 + A_0) = 0. \quad (14)$$

В том случае, когда возникает необходимость учета диссипации энергии, обусловленной внутренним трением, достаточно учесть в формуле (14) работу этих сил, т. е.

$$R_0 = \frac{\chi}{2} \int_0^a \int_0^b W^2(x, y) dx dy = \frac{\omega_{mn}^2 \mu \eta ab}{8} \sum_{m=1}^{\infty} \sum_{n=1}^{\infty} W_{mn}^2, \quad (15)$$

где $\chi = \mu \eta \omega_{mn}^2$ — коэффициент внутреннего трения; η — коэффициент потерь.

Условие (14) экстремальности в этом случае преобразуется к виду

$$\frac{\partial}{\partial W_{mn}} (T_0 - \Pi_0 + A_0 - R_0) = 0. \quad (16)$$

ПРОСТРАНСТВЕННО-ЧАСТОТНЫЙ РЕЗОНАНС

Пусть $m_1 = m$ и $n_1 = n$, что соответствует совпадению чисел полуволн акустического излучения и генерируемой в пластине вибрации по двум на-

правлениям — вдоль оси x ($m_1 = m$) и вдоль оси y ($n_1 = n$). Тогда после подстановки выражений (1) и (9) в формулы (3), (4) и (13) имеем

$$\begin{aligned} \Pi_0 &= \frac{Dab\pi^4}{8} \sum_{m=1}^{\infty} \sum_{n=1}^{\infty} (m^2 a^{-2} + n^2 b^{-2})^2 W_{mn}^2; \\ T_0 &= \frac{\omega^2 \mu ab}{8} \sum_{m=1}^{\infty} \sum_{n=1}^{\infty} W_{mn}^2; \\ A_0 &= \frac{ab}{4} \sum_{m=1}^{\infty} \sum_{n=1}^{\infty} P_{mn} W_{mn}. \end{aligned} \quad (17)$$

Из условия экстремальности (14) с учетом (17) получаем для каждой пары индексов m и n

$$W_{mn} = P_{mn} [\mu(\omega_{mn}^2 - \omega^2)]^{-1}, \quad (18)$$

где значения круговой частоты собственных колебаний ω_{mn} определяется приведенной выше формулой. Выражение (18) позволяет вычислить величину прогиба пластины в каждой ее точке на $m n$ -й форме собственных колебаний. Очевидно, что при $\omega = \omega_{mn}$ прогиб неограниченно увеличивается.

Подставляя выражение (10) в (6), определяем закон изгибных колебаний пластины на $m n$ -й форме при непрерывном воздействии звукового излучения в интервале времени $[0, t]$, причем изгибное движение включает в себя как вынужденные, так и собственные перемещения:

$$\begin{aligned} W(x, y, t) &= \sum_{m=1}^{\infty} \sum_{n=1}^{\infty} W_{mn}(x, y, t) \sin \frac{m \pi x}{a} \sin \frac{n \pi y}{b} = \\ &= \sum_{m=1}^{\infty} \sum_{n=1}^{\infty} P_{10} \rho(t) [\mu(\omega_{mn}^2 - \omega^2) [(k \cos \theta)^2 + (n \pi b^{-1})^2] \times \\ &\quad \times [(k \sin \theta)^2 + (m \pi a^{-1})^2]]^{-1} \times \\ &\quad \times \exp i \left\{ \omega t + k [(b - \delta) \cos \theta - a \sin \theta] + \frac{\pi}{2} + t g \varphi(t) \right\} \times \\ &\quad \times [S_1 m \pi a^{-1} \exp i(k \sin \theta) - S_2 n \pi b^{-1} \exp i(k b \cos \theta) - \\ &\quad - S_1 S_2 + m n \pi^2 (ab)^{-1}] \sin \frac{m \pi x}{a} \sin \frac{n \pi y}{b}, \end{aligned} \quad (19)$$

где

$$\begin{aligned} \rho(t) &= [(\cos \omega t - \cos \omega_{mn} t)^2 + \\ &\quad + (\sin \omega t - \sin \omega_{mn} t)^2]^{1/2}; \end{aligned}$$

$$t g \varphi(t) = (\sin \omega t - \omega \sin \omega_{mn} t)(\cos \omega t - \cos \omega_{mn} t)^{-1}.$$

В случае равномерно распределенной по площади пластины акустической нагрузки, выражение (19) преобразуется к виду

$$W(x, y, t) = P_{10} 16g(\mu\pi)^{-1} \times \\ \times \sum_{m=1}^{\infty} \sum_{n=1}^{\infty} (mn\omega_{mn})^{-1} (1 - \cos\omega_{mn}t) \sin \frac{m\pi x}{a} \sin \frac{n\pi y}{b}. \quad (20)$$

Таким образом, изгибающие колебания пластины могут быть представлены в виде суперпозиции вынужденных изгибающих колебаний в пластине неограниченной протяженности и свободных колебаний, возникающих в данной пластине с учетом ее геометрических размеров.

Если импеданс пластины на $m n$ -й форме представить в виде

$$Z_{mn} = P_{mn} V_{mn}^{-1} = i\mu\omega [(C_u c^{-1} \sin\theta)^4 - (\omega_{mn}\omega^{-1})^2], \quad (21)$$

то очевидно, что даже при выполнении условия волнового совпадения

$$C_u = c \sin^{-1} \theta,$$

но при отсутствии равенства частот собственных колебаний ω_{mn} пластины конечных размеров и частот вынужденных колебаний ω неограниченной по протяженности пластины, прогибы будут иметь конечную величину. Акустически прозрачной ($Z_{mn} = 0$) она станет лишь при одновременном выполнении равенств

$$C_u = c \sin^{-1} \theta, \quad (22)$$

$$\omega = \omega_{mn}.$$

Численный анализ показывает, что максимальный прогиб пластины имеет место на первой (нижней) форме колебаний при $m_1 = m = 1$ и $n_1 = n = 1$ (рис. 4). Высшие формы имеют более сложную структуру движения. Так, например, при $m_1 = m = 1$ и $n_1 = n = 2$ пластина имеет, в отличие от первой формы, уже два разнополярных локальных экстремума (рис. 5), а при $m_1 = m = 1$ и $n_1 = n = 3$ — три экстремума (рис. 6). Чем выше номер формы, тем сложнее изгибающее движение пластины.

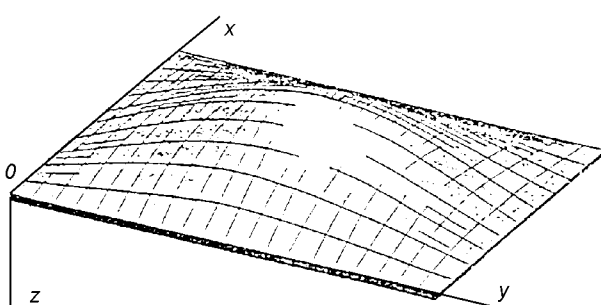


Рис. 4. Прогиб пластины под действием звуковой волны. Первая форма колебаний — $m_1 = m = 1$; $n_1 = n = 1$

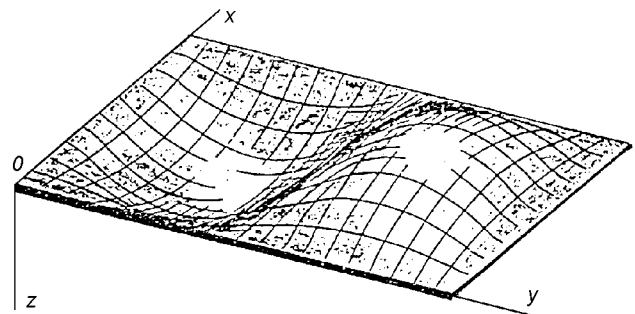


Рис. 5. Прогиб пластины под действием звуковой волны. Вторая форма колебаний — $m_1 = m = 1$; $n_1 = n = 2$

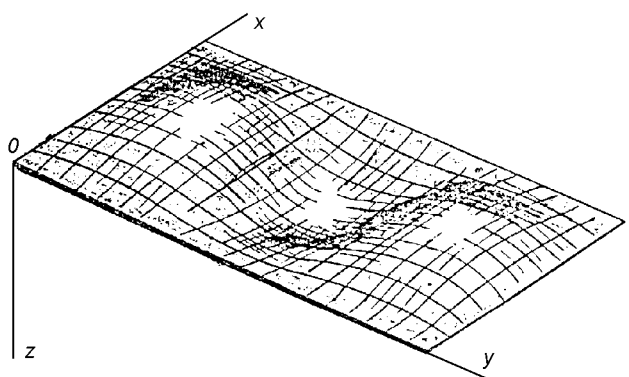


Рис. 6. Прогиб пластины на третьей форме — $m_1 = m = 1$; $n_1 = n = 3$

Число экстремумов определяется произведением mn .

При нечетных n величина прогибов значительно больше, чем при четных значениях. Таким образом, эти формы будут способствовать более интенсивной перекачке звуковой энергии из одного полупространства в другое.

НЕПОЛНЫЙ ПРОСТРАНСТВЕННО-ЧАСТОТНЫЙ РЕЗОНАНС

В отличие от рассмотренного выше, проанализируем особенности динамики пластин в том случае, когда $m_1 = m$, а при $n_1 \neq n$. Это означает, что при этих условиях точно совпадают узловые линии $m_1 n_1$ -й и $m n$ -й форм падающей звуковой волны давления и изгибающей волны, но только в направлении оси x (если $m_1 \neq m$, а $n_1 = n$, то совпадение линий узлов будет в направлении оси y).

Проводя аналогичные предыдущему вычисления, получаем закон изгибающего движения:

$$\begin{aligned}
W(x, y, t) &= \sum_{m=1}^{\infty} \sum_{n=1}^{\infty} W_{mn}(x, y, t) \sin \frac{m\pi x}{a} \sin \frac{n\pi y}{b} = \\
&= P_{10}\rho(t) [\mu\pi(\omega_{mn}^2 - \omega^2)(n^2 - n_1^2) \times \\
&\times [(k\cos\theta)^2 + (n_1\pi b^{-1})^2] [(k\sin\theta)^2 + (m_1\pi a^{-1})^2]]^{-1} \times \\
&\times \left\{ [S_1 m_1 \pi a^{-1} \exp(ika\sin\theta) - S_2 n_1 \pi b^{-1} \exp(ikb\cos\theta) - \right. \\
&\quad \left. - S_1 S_2] + m_1 n_1 \pi^2 (ab)^{-1} \right\} \times \\
&\times \exp\left\{ \omega t + k[(b - \delta)\cos\theta - a\sin\theta] + \frac{\pi}{2} + tg\varphi(t) \right\} \times \\
&\times 2n \sin n_1 \pi \sin \frac{m\pi x}{a} \sin \frac{n\pi y}{b}. \quad (23)
\end{aligned}$$

Отсюда следует, что при одновременном равенстве $n_1 = n$ и $\omega = \omega_{mn}$ имеет место пространственно-частотный резонанс, приводящий к неограниченному увеличению амплитуды изгибных колебаний. Если выполняется лишь одно из равенств, то проявляется один из резонансов — пространственный ($n_1 = n$) или частотный ($\omega = \omega_{mn}$).

Очевидно, что при $n_1 = 1/2$ и далее для последующих нечетных значений $3/2, 5/2, 7/2$, и т. д. величина прогиба максимальна. При $n_1 = 1, 2, \dots$ изгиб пластины равен нулю и она становится акустически непрозрачной.

Кроме отмеченных особенностей, обращают на себя внимание такие: при $x = a/m$ и $y = b/n$ изгиб пластины равен нулю. Эти уравнения определяют линии узлов.

ЧАСТОТНЫЙ РЕЗОНАНС

Полагая $m_1 \neq m$ и $n_1 \neq n$ полностью исключим возможность совпадения $m_1 n_1$ -й формы акустического давления и mn -й формы изгибных колебаний пластины, что соответствует частотному резонансу.

Закон поперечного возмущенного движения пла-

стины имеет вид

$$\begin{aligned}
W(x, y, t) &= \sum_{m=1}^{\infty} \sum_{n=1}^{\infty} W_{mn}(x, y, t) \sin \frac{m\pi x}{a} \sin \frac{n\pi y}{b} = \\
&= P_{10}\rho(t) [\mu\pi^2(\omega_{mn}^2 - \omega^2)(m^2 - m_1^2)(n^2 - n_1^2) \times \\
&\times [(k\cos\theta)^2 + (n_1\pi b^{-1})^2] [(k\sin\theta)^2 + (m_1\pi a^{-1})^2]]^{-1} \times \\
&\times \left\{ [S_1 m_1 \pi a^{-1} \exp(ika\sin\theta) - S_2 n_1 \pi b^{-1} \exp(ikb\cos\theta) - \right. \\
&\quad \left. - S_1 S_2] + m_1 n_1 \pi^2 (ab)^{-1} \right\} \times \\
&\times \exp\left\{ \omega t + k[(b - \delta)\cos\theta - a\sin\theta] + \frac{\pi}{2} + tg\varphi(t) \right\} \times \\
&\times 4mn \sin m_1 \pi \sin n_1 \pi \sin \frac{m\pi x}{a} \sin \frac{n\pi y}{b}. \quad (24)
\end{aligned}$$

Численный анализ показывает, что характер распределения генерируемой в пластине вибрации в пространстве имеет ту же структуру, что и при пространственно-частотном резонансе, однако величины прогибов значительно меньше и с увеличением номера формы имеют тенденцию к уменьшению.

Карачун В. В. О влиянии акустического излучения на плоские элементы конструкции гирокомпенсаторов // Механика гирокомпенсаторных систем. — 1993. — Вып. 12. — С. 23—29.

Карачун В. В., Дидковский В. С. Методы расчета динамических систем. — Киев: Будівельник, 1992. — 112 с.

TWO-DIMENSIONAL PROBLEM ON THE ELASTIC INTERACTION OF THE ACOUSTIC RADIATION FROM SUSTAINED ENGINES WITH PLATE ELEMENTS OF SPACE VEHICLE CONSTRUCTION

V. V. Karachun

We analyse the bending vibrational motion of a plate element in a space vehicle construction under the action of acoustic radiation from sustained engines.